

THE SYNTHESIS OF 2-(3' MERCAPTOAZRIDINIL-1)-4,6-DIAMORPHOLINE-1,3,5 - TRI-AVINES AND SOME CHANGES

F. V. Avetisyan

The interaction between 2-hydrozine-4,6-diamorpholine-1,3,5 triazine and sulphuric carbon has been studied in the presence of basis or amin. In the result, instead of the corresponding ditiocarbozates the derivative of diazridinil substituted 1,3,5-triazinil has come out, which has been transformed into S-substituted derivatives in the presence of the basis and under the influence of alcyling agents.

О КОНТАКТНОМ ВЗАИМОДЕЙСТВИИ ВАЛА
И ТОРМОЗНЫХ КОЛОДОК
С УЧЕТОМ ИЗНОСА И ТЕПЛОВЫДЕЛЕНИЯ ОТ ТРЕНИЯ

Н. А. КУТУЗЯН

Кандидат физикоматематических наук, доцент,
проректор ГГУ
Л. А. ШЕКЯН

Кандидат физикоматематических наук, доцент

Рассматривается плоская контактная задача теории упругости о прижатии равномерно вращающегося вокруг своей оси упругого цилиндра (вала) двумя одинаковыми и симметрично распределенными штампами, к которым прикреплен тонкий упругий слой, обладающий большим трением (тормозные колодки). Учитываются износ трения и тепловыделения от трения.

Методом комплексных потенциалов Колосова-Мусхелишвили [1,2], определены упругие перемещения граничных точек цилиндра, возникающие от действующих на его границе нормальных и касательных контактных напряжений. Радиальные упругие перемещения граничных точек слоев определены согласно модели Винклера [3,4]. Износ трущихся поверхностей трения и тепловыделения от трения учитывается согласно модели, предложенной в [5], а учет тепловыделения от трения проводится согласно модели [6].

Принимая кулоновское трение, задача сведена к нелинейному интегральному уравнению типа Гаммерштейна [7] относительно действующих в области трения нормальных контактных напряжений. Исследование этого уравнения проводится методом, разработанным в [8], на основании принципа сжимающих отображений в пространстве непрерывных функций, который дает возможность получить эффективное решение тригонометрических контактных задач теории упругости.

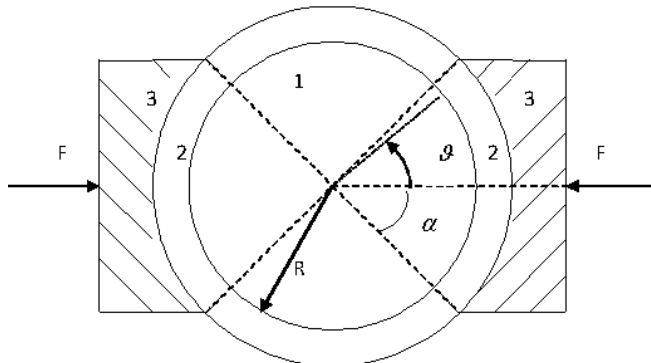
1. Постановка задачи и вывод основных уравнений.

Пусть равномерно вращающейся вокруг своей оси упругий цилиндр 1 с радиусом, модулем сдвига и коэффициентом Пуассона, вдавливается двумя одинаковыми и симметрично расположеными неподвижными штампами 3, имеющими дугообразные основания, которые подкреплены тонкими упругими трением слоями 2 (фиг.1).

Требуется определить законы распределения действующих между цилиндром и слоями нормальных и касательных контактных напряжений, меру взаимного сближения штампов, а также величину вращающего момента пары сил цилиндра.

Пользуясь известным методом комплексных потенциалов Колосова-Мусхелишивили о представлении решения плоской задачи теории упругости [1], определим радиальные упругие перемещения граничных точек цилиндра, возникающих вследствие действия на граничной области нормальных и касательных контактных напряжений. Эти перемещения, согласно [2], выражаются формулой

$$u_E(\vartheta) = \frac{\chi+1}{4\pi\mu} R \int_L p(\varphi) \ln 2 \left| \sin \frac{\vartheta-\varphi}{2} \right| d\varphi + \frac{\chi-1}{8\mu} R \int_L \tau(\varphi) \operatorname{sgn}(\vartheta-\varphi) d\varphi - R \int_L p(\varphi) K^{(1)}(\vartheta-\varphi) d\varphi - R \int_L \tau(\varphi) K^{(2)}(\vartheta-\varphi) d\varphi + \frac{R}{2\pi\mu} \int_L p(\varphi) \cos(\vartheta-\varphi) d\varphi, \quad \vartheta \in [-\alpha, \beta] \quad (1)$$



Фиг. 1

где

$$\begin{aligned} K^{(1)}(z) &= \frac{\chi+1}{4\pi\mu} K_{11}(z) + \frac{\chi-1}{8\pi\mu} K_{12}(z), \quad K_{11}(z) = 2 \sin^2 \frac{z}{2} \ln \left| 2 \sin \frac{z}{2} \right|, \\ K_{12}(z) &= (\pi \operatorname{sgn} z - z) \sin z, \quad K^{(2)}(z) = \frac{\chi+1}{4\pi\mu} K_{21}(z) + \frac{\chi-1}{8\pi\mu} K_{22}(z) - \frac{\chi-1}{8\pi\mu} z, \quad (2) \\ K_{21}(z) &= \sin z \ln \left| 2 \sin \frac{z}{2} \right|, \quad K_{22}(z) = -2(\pi \operatorname{sgn} z - z) \sin^2 \frac{z}{2}, \quad L = [-\alpha, \alpha] \cup [\pi - \alpha, \pi + \alpha]. \end{aligned}$$

Здесь $\chi = (3 - 4\nu)$ - при длинном цилиндре (плоская деформация) и $\chi = (3 - \nu)/(1 + \nu)$ - при тонкой цилиндре (диск, обобщенно плоское напряженное состояние), $p(\vartheta)$ и $\tau(\vartheta)$ - соответственно нормальные и касательные контактные напряжения, 2α - угол захвата штампа (колодки).

По условиям задачи, функции $u_E(\vartheta)$, $p(\vartheta)$ и $\tau(\vartheta)$ - периодические функции с периодом π .

Вследствие упругих деформаций слоев, их граничные точки, находящиеся в контактной области, получают некоторые упругие радиальные перемещения $u_{2r}^*(\vartheta)$. Будем считать, что эти перемещения в каждой точке контактной области, согласно обобщенной модели Винклера [3,4], пропорциональны действующему в данной точке нормаль-

ному контактному напряжению

$$u_{2r}^*(\vartheta) = \lambda p(\vartheta), \quad \vartheta \in [-\alpha; \alpha] \cup [\pi - \alpha; \pi + \alpha], \quad (3)$$

где λ - коэффициент, зависящий от физических и геометрических параметров слоев $\lambda = (1 - 2\nu^*)h/2(1 - \nu^*)\mu^*$. (4)

Здесь μ^* и ν^* - соответственно модуль сдвига и коэффициент Пуассона материала слоев, h - толщина слоев.

В зоне трения, вследствие износа труящихся поверхностей, граничные точки фрикционных слоев, кроме упругих радиальных перемещений $u_{2r}^*(\vartheta)$, получают некоторые дополнительные радиальные перемещения $u_w(\vartheta)$. Скорость этих перемещений $\partial u_w / \partial t$, согласно экспериментальным данным [5], в каждой точке контактной области может быть выражено степенной функцией

$$\frac{\partial u_w}{\partial t} = \lambda_2 [p(\vartheta)]^m (\omega R)^n, \quad 1 \leq m < 3, \quad n \approx 1, \quad \vartheta \in [-\alpha; \alpha] \cup [\pi - \alpha; \pi + \alpha], \quad (5)$$

где λ_2 - коэффициент пропорциональности, t - время, ω - угловая скорость цилиндра. Следуя [6] считаем, что температурное приращение ($T - T_0$), обусловленное нагревом от трения, в момент времени пропорционально средней мощности сил трения

$$T - T_0 = (1 - e^{-\eta t}) \frac{\omega R k_1}{\alpha + \beta} \int_{-\alpha}^{\beta} \tau(\varphi) d\varphi, \quad (6)$$

где T_0 - начальная температура узла трения, η и k_1 - коэффициенты пропорциональности. Для определения перемещений u_{11} и u_{2T} , которые получают вследствии нагрева находящихся в зоне трения граничных точек, соответственно, цилиндра и слоев, воспользуемся известным выражением для радиальных температурных напряжений и перемещений цилиндра [9]

$$\sigma_r = \frac{\alpha_T E}{1 - \nu} \frac{1}{r^2} \int_a^r (T - T_0) r dr + \frac{E}{1 + \nu} \left(\frac{C_1}{1 - 2\nu} - \frac{C_2}{r^2} \right), \quad u = \frac{1 + \nu}{1 - \nu} \alpha_T \frac{1}{r} \int_a^r (T - T_0) r dr + C_1 r + \frac{C_2}{r}, \quad (7)$$

где α_T - коэффициент температурного расширения, C_1 и C_2 - постоянные, которые определяются из граничных условий, притом нижний предел интегрирования a может быть выбран произвольно. В частности, для сплошного цилиндра 1 (фиг.1), принимая $(u_1)_{r=0} = 0$ $(\sigma_r)_{r=R} = 0$ и считая $a = 0$, $T - T_0 = const$, из (7) получим

$$u_{1T} = (u_1)_{r=R} = (1 + \nu) R \alpha_{1T} (T - T_0). \quad (8)$$

Из формул (7), считая $a = R$ и принимая $(\sigma_r)_{r=R} = 0$, получим перемещения u_{2T} радиальных точек слоев 2 (фиг.1)

$$u_{2T} = (u_2)_{r=R} = \frac{(1 + \nu^*) R h (2R + h)}{R^2 + (1 - 2\nu^*) (R + h)^2} \alpha_{2T} (T - T_0). \quad (9)$$

При решении задачи воспользуемся также условиями равновесия цилиндра и штампов:

$$R \int_{-\alpha}^{\alpha} [p(\varphi) \cos \varphi - \tau(\varphi) \sin \varphi] d\varphi = F, \quad 2R^2 \int_{-\alpha}^{\alpha} \tau(\varphi) d\varphi = M, \quad (10)$$

где F и M - соответственно, внешняя сжимающая сила и врачающий момент, отнесенные на единицу длины цилиндра.

Далее предполагается, что нормальные $p(\vartheta)$ и касательные $\tau(\vartheta)$ контактные напря-

жения связаны между собой кулоновским законом трения

$$\tau(\vartheta) = f \cdot p(\vartheta), \quad \vartheta \in [-\alpha; \alpha] \cup [\pi - \alpha; \pi + \alpha], \quad (11)$$

где f - коэффициент трения между цилиндром и фрикционным слоями.

Условие контакта задачи будет

$$(-u_E + u_{2r}^* + u_W - u_{1T} - u_{2T})/\cos \vartheta = \delta, \quad \vartheta \in [-\alpha; \alpha], \quad (12)$$

где 2δ - мера взаимного сближения штампов.

Теперь, введя безразмерные величины

$$\delta_0 = \delta/R, \quad p_0(\vartheta) = \lambda p(\vartheta)/R, \quad (-\alpha \leq \vartheta \leq \alpha) \quad (13)$$

и на основание (1), (3), (5), (6), (8), (9) и (11) функции $u_E(\vartheta)$, $u_{2r}^*(\vartheta)$, $u_W(\vartheta)$, u_{1T} и u_{2T} выразив через δ_0 и $p_0(\vartheta)$, из условия (13) получим относительно $p_0(\vartheta)$ следующее нелинейное интегральное уравнение

$$p_0(\vartheta) = A_1[p_0(\vartheta), \delta_0, \vartheta], \quad (-\alpha \leq \vartheta \leq \alpha), \quad (14)$$

где

$$A_1[p_0(\vartheta), \delta_0, \vartheta] = [u_E(\vartheta) + u_{1T} + u_{2T} - u_W(\vartheta)]/R + \delta_0 \cos \vartheta \quad (15)$$

Условия равновесия (10), на основании (11) и (13) принимают, соответственно, вид

$$F_0 = \int_{-\alpha}^{\alpha} (\cos \varphi - f \sin \varphi) p_0(\varphi) d\varphi, \quad (16)$$

$$M_0 = 2 \int_{-\alpha}^{\alpha} p_0(\varphi) d\varphi, \quad (17)$$

где F_0 и M_0 - безразмерные величины, характеризующие сжимающую силу и врачающий момент, соответственно

$$F_0 = \lambda \cdot F/R^2, \quad M_0 = \lambda \cdot M/(R^3 \cdot f). \quad (18)$$

Таким образом, решение задачи сведено к определению $p_0(\vartheta)$, δ_0 и M_0 из нелинейного интегрального уравнения (15) и из условий (16), (17).

2. Исследование системы уравнений (15)-(17).

Прежде чем получить решение системы нелинейных уравнений (15)-(17) заметим, что неизвестный врачающий момент M_0 входит только в соотношении (17). Следовательно, сначала можно рассматривать (15) и (16) как отдельную систему относительно $p_0(\vartheta)$ и δ_0 , затем, используя ее решение, из (17) определить M_0 .

Нелинейное интегральное уравнение (15) при условии (16) будем решать методом последовательных приближений, а исследование его сходимости будем проводить способом, приведенным в [8], основанной на принципе сжимающих отображений в пространстве непрерывных функций.

Сначала, для удобства, временно считаем, что вместо заданной величины действующих на штампы внешних сжимающих сил, задана величина жесткого перемещения штампов, но при этом величина неизвестная. Тогда (15) и (16) можно рассматривать как относительно $p_0(\vartheta)$ и F_0 систему нелинейных уравнений, в которых безразмерному жесткому перемещению δ_0 присвоено некоторое положительное допустимое число.

Как показывают проведенные ниже исследования, система (15)-(16), представляющая относительно $p_0(\vartheta)$ нелинейное интегральное уравнение (15) с дополнительным условием (16), имеет наиболее удобный вид для определения $p_0(\vartheta)$ и F_0 методом последовательных приближений.

Действительно, систему уравнений (15)-(16) представим в операторном виде $Z=A(Z)$, где Z -вектор с компонентами $\{p_0(\vartheta), F_0\}$, а $A(Z)$ – нелинейный оператор, который определяется выражениями правых частей уравнений (15) и (16).

Пусть, далее, D - некоторое множество, каждый элемент которого $Z \in D$ является совокупностью $\{x(\vartheta); y\}$ произвольных непрерывных на отрезке $-\alpha \leq \vartheta \leq \alpha$ функций $x(\vartheta)$ и числа y , а $Z_i = \{x_i(\vartheta); y_i\}$ - два произвольных элемента из D . Тогда, введя в D метрику вида

$$\rho(Z_1, Z_2) = \max_{-\alpha \leq \vartheta \leq \alpha} |x_1(\vartheta) - x_2(\vartheta)| + |y_1 - y_2|, \quad (19)$$

множество D становится полным метрическим пространством. Пусть, теперь, $S[O, r]$ замкнутый шар в D , с центром $O = \{0; 0\}$ и с некоторым радиусом $r > 0$. Рассмотрим в $S[O, r]$ оператор $W = A(Z)$, задаваемый формулами

$$u(\vartheta) = A_1[x(\vartheta), \delta_0, \vartheta], \quad \xi = \int_{-\alpha}^{\alpha} (\cos \varphi - f_1 \sin \varphi) p_0(\varphi) d\varphi, \quad (W = \{u(\vartheta); \xi\}) \quad (20)$$

Нетрудно убедиться, что при $Z \in S[O, r]$, выполняется неравенство $\rho(Z, O) \leq \gamma$, где

$$\gamma = \max_{-\alpha \leq \vartheta \leq \alpha} |A_1[x(\vartheta), \delta_0, \vartheta]| + |y|. \quad (21)$$

Следовательно, если $\gamma \leq r$, то оператор $A(Z)$ отображает замкнутый шар $S[O, r]$ в себе. Далее, на основании (1), (2), (5), (6), (12) и (13), аналогично [8] убедимся, что для двух произвольных элементов Z_1 и Z_2 из $S[O, r]$, имеет место неравенство

$$\rho[A(Z_1), A(Z_2)] \leq \varepsilon \cdot \rho(Z_1, Z_2), \quad (22)$$

где ε - некоторое положительное число, зависящий от физических и геометрических параметров задачи. Из формулы (22) следует, что если характерные параметры задачи и принятый r такие, что $\gamma \leq r$ и $0 < \varepsilon < 1$, то оператор $W = A(Z)$ в замкнутом шаре $S[O, r]$ имеет неподвижную точку Z^* , т.е. существует такой элемент $Z^* \in S[O, r]$, для которого $Z^* = A(Z^*)$. При этом, элемент Z^* , являющийся решением уравнения $Z = A(Z)$ в замкнутом шаре $S[O, r]$ единственный, к которому стремится по метрике (19) последовательность элементов $\{Z_n\}_{n=0}^{\infty}$, полученной исходя из любого начального элемента $Z^* \in S[O, r]$ итерационными формулами

$$Z_n = A(Z_{n-1}), \quad (n = 1, 2, 3 \dots). \quad (23)$$

Теперь, принимая $Z_0 = \{0; 0\}$ в качестве нулевого приближения и учитывая (21) и (24), получим решение системы уравнений (15) и (16) в первом приближении

$$p_0^{(1)}(\vartheta) = A_1[0, \delta_0, \vartheta], \quad F_0^{(1)} = 0, \quad (-\alpha \leq \vartheta \leq \alpha). \quad (24)$$

Во втором приближении, согласно (23) и (24), будем иметь

$$p_0^{(2)}(\vartheta) = A_1[p_0^{(1)}(\vartheta), \delta_0, \vartheta], \quad F_0^{(2)} = \int_{-\alpha}^{\alpha} (\cos \varphi - f_1 \sin \varphi) p_0^{(1)}(\varphi) d\varphi, \quad (-\alpha \leq \vartheta \leq \alpha). \quad (25)$$

Наконец, отметим, что полученное таким образом значение F_0 по заданному значению δ_0 устанавливается зависимостью между F_0 и δ_0 , которой можно трактовать как зависимость δ_0 от F_0 .

ЛИТЕРАТУРА

1. **Мусхелишвили Н. И.** Некоторые основные задачи математической теории упругости. М.: Наука. 1966. 707с.
2. **Мхитарян С. М., Торосян Ф. С.** О контактном взаимодействии кругового диска и бесконечной пластины с круговым отверстием, подкрепленным тонким кольцевым покрытием // Изв. АН Арм. ССР, Механика, 1978. Т.31, N 5, с.3-19.
3. **Александров В. М., Мхитарян С. М.** Контактные задачи для тел с тонкими покрытиями и прослойками. М.: Наука, 1983. 488с.
4. **Агаловян Л. А.** Асимптотическая теория анизотропных пластин и оболочек. М.: Наука, физ-матлит. 1997. 414 с..
5. Трение, изнашивание и смазка. Справочник. Кн. 1. М.: Наука, 1978. 400с.
6. **Богатин О. Б., Коров В. А., Тихонов А. Г.** Проблемы моделирования нестационарного термо-контактного взаимодействия в трибосистемах // Трение и износ. 1992. Т.13. N 1. С. 172 - 184.
7. **Трикоми Ф.** Интегральные уравнения. М.: ИЛ, 1960. 300 с.
8. **Мхитарян С. М., Шекян Л. А.** Плоская контактная задача для двух шероховатых твердых тел, изготовленных из степенно упрочняющихся материалов // Изв. АН Арм. ССР, Механика, 1977, Т.30, N 3, с.15-32.
9. **Тимошенко С. П., Гудлер Дж.** Теория упругости. М.: Наука, 1975. 576 с.

ԼԻՍԵՐԻ ԵՎ ԱՐԳԵԼԱԿՎԱՅԻՆ ԿՈՆԴԱԿՆԵՐԻ ՀՊԱԿԱՅԻՆ ՓՈԽԱԶԴԵՑՈՒԹՅՈՒՆԸ ՍԱՀՄԱՆ
ԵՎ ՇՓՈՒՄԻՑ ԶԵՐՄԱՆՁԱՏՄԱՆ ՀԱՇՎԱՌՈՒՄԾՈՎ

**Ն. Ա. Կուտուզյան
Լ. Ա. Շեկյան**

Ղիտարկված է առաձգականության տեսության հարթ հպակային մի խնդիր՝ իր առանցքի շուրջը հավասարաչափ պոտովող գլանին (լիսեր) երկու միատեսակ և հանաչափ դասավորված կոճղերով սեղման վերաբերյալ, երբ այդ կոճղերին ամրացված են առաձգական բարակ շերտեր (արգելակային կոճղակներ): Դաշվի են առնված մաշումը և շփումից անջատված շերմությունը: Կոնպլեքս պոտենցիալների մեթոդով որոշված են գլանի մակերևույթային կետերի առաձգական շառավիղային տեղափոխությունները, որոնք առաջանում են նրա եզրին կիրառված նորմալ և շոշափող հպակային լարումներից, իսկ շերտերի առաձգական շառավիղային տեղափոխությունները որոշված են՝ համաձայն Վինկերի նորելի: Շփուղ մակերևույթների մաշման և շփումից շերմանջատման հաշվառմը կատարված է փորձնական ճանապարհով՝ ստացված մոդելների համաձայն: Ընդունելով կուլոնյան շփում՝ խնդիրը հանգեցվում է շփնան տեղամասում գործող նորմալ հպակային լարումն նկատմամբ ։ Համմերշտեյնի տիպի ոչ գծային ինտեգրալ հավասարման: Այդ հավասարման հետազոտությունը կատարված է սեղմող արտապատկերումների սկզբումքի հիմնան վրա՝ անընդհատ ֆունկցիաների տարածության մեջ: Ստացված է խնդրի մոտավոր վերլուծական լուծումը:

CONTACT INTERACTION BETWEEN SHAFT AND BRAKE PADS, INCLUDING WEAR AND HEAT FROM FRICTION

**N. A. Kutuzyan
L. A. Shekyan**

A plane contact problem of pressing a uniformly rotating around its axis of an elastic cylinder (shaft) with two identical and symmetrically distributed stamps, which is attached a thin elastic layer, which has a large frictional property (brake pads). Take into account the wear and heat from friction. The method of

Kolosov-Muskhelishvili complex potentials, to determine the elastic displacement of the boundary points of the cylinder arising from operating in its border of normal and tangential contact stresses, and the radial elastic displacements of boundary points of the layers are defined according to the model of Winkler. Accounting for depreciation truyuschihsya surfaces and heat from friction are taken into account according to the models obtained experimentally. Assuming Coulon friction, the problem is reduced to a non-linear integral equation of Hammerstein type with respect to operating in frictional normal contact stresses. The study of this equation was carried out on the basis of the principle of contracting mappings in the space of continuous functions. An approximate analytical solution of the problem.

ՕՐԹՈՏՐՈՊ ԲԱՂԱԴՐՅԱԼ ՇԵՐՏԻ ԼԱՐՎԱԾԱԴԵՖՈՐՄԱՑԻՈՆ ՎԻճԱԿԸ

Ն. Ա. ԿՈՒՏՈՒԶՅԱՆ

Ֆիզմաթեմատիկական գիտությունների թեկնածու, դոցենտ,
ԳՊԴ ուսումնագիտական գծով պրոռեկտոր

Աշխատանքում ուսումնասիրված է օրթոտրոպ նյութից պատրաստված բաղդարյալ առաձգական շերտի լարվածադեֆորմացիոն վիճակը, երբ շերտը բաղկացած է ջերմային տարբեր հատկություններ ունեցող երկու շերտերից: Շերտի եզրերից մեկն ամրակցված է, իսկ մյուսը ազատ է լարումներից: Դպրագման եզրագծով տեղի ունեն տեղափոխությունների և լարումների անընդհատության պայմաններ: Այսպիսով եզրային պայմաններն հետևյալն են՝

$$\begin{aligned} \text{Երբ } & y = -h_1, \quad \sigma_y^{(1)} = 0, \quad \sigma_{xy}^{(1)} = 0 \\ & y = 0, \quad \sigma_y^{(1)} = \sigma_y^{(2)}, \quad U^{(1)} = U^{(2)} \\ & \sigma_{xy}^{(1)} = \sigma_{xy}^{(2)}, \quad V^{(1)} = V^{(2)} \\ & y = -h_1, \quad U^{(2)} = 0, \quad V^{(2)} = 0 \end{aligned} \tag{1}$$

Յուրաքանչյուր շերտի համար տեղի ունեն հավասարակշռության հավասարումները.

$$\frac{\partial \sigma_x}{\partial x} + \frac{\partial \sigma_{xy}}{\partial y} = 0, \quad \frac{\partial \sigma_{xy}}{\partial x} + \frac{\partial \sigma_y}{\partial y} = 0 : \tag{2}$$

Ներմուծելով լարումների ֆունկցիա՝

$$\sigma_x = \frac{\partial^2 F}{\partial y^2}, \quad \sigma_y = \frac{\partial^2 F}{\partial x^2}, \quad \sigma_{xy} = -\frac{\partial^2 F}{\partial x \partial y} \tag{3}$$

և նկատի ունենալով, որ օրթոտրոպ նյութից կառուցված շերտի համար՝

$$\begin{aligned} \frac{\partial U}{\partial x} &= a_{11}\sigma_x + a_{12}\sigma_y + \alpha_1^{(n)} t \\ \frac{\partial V}{\partial y} &= a_{12}\sigma_x + a_{22}\sigma_y + \alpha_2^{(n)} t \\ \frac{\partial U}{\partial y} + \frac{\partial V}{\partial x} &= a_{66}\sigma_{xy} \end{aligned} \tag{4}$$